

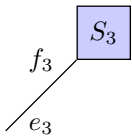
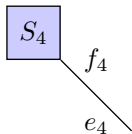
# Geometría de los sistemas Hamiltonianos con puertos

Eduardo García-Toraño Andrés

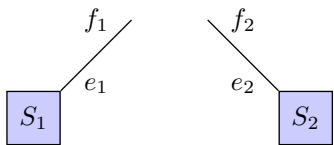
DEP. DE MATEMÁTICA, UNIVERSIDAD NACIONAL DEL SUR, ARGENTINA

(+ M. Barbero-Liñán, H. Cendra y D. Martín de Diego)

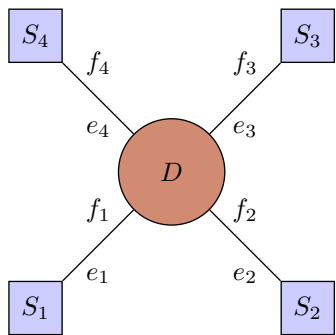
BAHÍA BLANCA, 31 – MAYO – 2017



- $S_1, S_2, S_3, S_4$  – (sub)-sistemas
- $f_i \in F_i$ , “Flujo”
- $e_i \in \mathcal{E}_i = F_i^*$ , “Esfuerzo”
- Puerto:  $(f_i, e_i) \in F_i \times F_i^*$



Potencia ganada/perdida en cada puerto es  $\langle e_i, f_i \rangle$



- $S_1, S_2, S_3, S_4$  – (sub)-sistemas
- $f_i \in F_i$ , “Flujo”
- $e_i \in \mathcal{E}_i = F_i^*$ , “Esfuerzo”
- Puerto:  $(f_i, e_i) \in F_i \times F_i^*$

Potencia ganada/perdida en cada puerto es  $\langle e_i, f_i \rangle$

$D \subset (F_1 \times F_2 \times F_3 \times F_4) \times (\mathcal{E}_1 \times \mathcal{E}_2 \times \mathcal{E}_3 \times \mathcal{E}_4)$  debe de ser tal que

$$\frac{dE}{dt} = \langle e_1, f_1 \rangle + \langle e_2, f_2 \rangle + \langle e_3, f_3 \rangle + \langle e_4, f_4 \rangle = 0.$$

Interconexión (preserva la potencia)  $\rightsquigarrow$  Estructura de Dirac

- $(P, \omega)$  simpléctica. Subvariedad de ligaduras  $i : C \hookrightarrow M$ ,  $(C, i^*\omega)$  es *pre-simpléctica*.

- $(P, \omega)$  simpléctica. Subvariedad de ligaduras  $i : C \hookrightarrow M$ ,  $(C, i^*\omega)$  es *pre-simpléctica*.
- ¿Qué ocurre en el caso  $(P, \{\cdot, \cdot\})$  Poisson?

Recordemos que una estructura de Poisson es un bivector  $\Lambda \in \Gamma(\wedge^2 TP)$  tal que  $\{f, g\} = \Lambda(df, dg)$  satisface Jacobi. La distribución característica

$$S_x = \{v \in T_x P \mid \exists f \in C^\infty(P), v = X_f(x)\} \subset TP, \quad (X_f = \{\cdot, f\})$$

da lugar a una foliación simpléctica.

- $(P, \omega)$  simpléctica. Subvariedad de ligaduras  $i : C \hookrightarrow M$ ,  $(C, i^*\omega)$  es *pre-simpléctica*.
- ¿Qué ocurre en el caso  $(P, \{\cdot, \cdot\})$  Poisson?

Recordemos que una estructura de Poisson es un bivector  $\Lambda \in \Gamma(\wedge^2 TP)$  tal que  $\{f, g\} = \Lambda(df, dg)$  satisface Jacobi. La distribución característica

$$S_x = \{v \in T_x P \mid \exists f \in C^\infty(P), v = X_f(x)\} \subset TP, \quad (X_f = \{\cdot, f\})$$

da lugar a una foliación simpléctica.

¿Qué geometría hereda una subvariedad de Poisson? ¿Qué estructura subyace a una foliación pre-simpléctica?

## Estructuras de Dirac: definición

Sea  $V$  espacio vectorial de dimensión finita, y  $B : V \times V \rightarrow \mathbb{R}$  forma bilineal, simétrica (o antisimétrica) y  $X \subset V$ . El *ortogonal relativo a B* es:

$$X^\perp = \{w \in V \mid B(v, w) = 0 \text{ para cada } v \in X\}.$$

Dado  $V$ , consideramos la siguiente forma bilineal simétrica y no degenerada  $\langle\cdot, \cdot\rangle$  en  $V \oplus V^*$ :

$$\langle\cdot, \cdot\rangle : (V \oplus V^*) \times (V \oplus V^*) \rightarrow \mathbb{R},$$

$$((v_1, v_1^*), (v_2, v_2^*)) \mapsto \langle(v_1, v_1^*), (v_2, v_2^*)\rangle := \langle v_2^*, v_1 \rangle + \langle v_1^*, v_2 \rangle.$$

**Definición:** Una estructura de Dirac lineal en  $V$  es un subespacio  $D_V \subset V \oplus V^*$  tal que  $D_V = D_V^\perp$ . (es decir, un subespacio Lagrangiano.)

**Definición:** Una estructura de Dirac en una variedad  $M$  es un subfibrado Lagrangiano  $D \subset TM \oplus T^*M$ .

Se dice integrable si

$$\langle \mathcal{L}_{X_1}\alpha_2, X_3 \rangle + \langle \mathcal{L}_{X_2}\alpha_3, X_1 \rangle + \langle \mathcal{L}_{X_3}\alpha_1, X_2 \rangle = 0, \quad (X_i, \alpha_i) \in \Gamma(D).$$

## Estructuras de Dirac: ejemplos

1  $(M, \omega)$  simpléctica,

$$D_\omega = \text{graph}(\omega) = \{(v, \omega(v, \cdot)) \mid v \in TM\} \subset TM \oplus T^*M.$$

## Estructuras de Dirac: ejemplos

1  $(M, \omega)$  simpléctica,

$$D_\omega = \text{graph}(\omega) = \{(v, \omega(v, \cdot)) \mid v \in TM\} \subset TM \oplus T^*M.$$

2  $(M, \Lambda)$  Poisson  $(\{f, g\} = \Lambda(df, dg))$ ,

$$D_\Lambda = \text{graph}(\Lambda) = \{(\Lambda(\cdot, \alpha), \alpha) \mid \alpha \in T^*M\} \subset TM \oplus T^*M.$$

## Estructuras de Dirac: ejemplos

1  $(M, \omega)$  simpléctica,

$$D_\omega = \text{graph}(\omega) = \{(v, \omega(v, \cdot)) \mid v \in TM\} \subset TM \oplus T^*M.$$

2  $(M, \Lambda)$  Poisson ( $\{f, g\} = \Lambda(df, dg)$ ),

$$D_\Lambda = \text{graph}(\Lambda) = \{(\Lambda(\cdot, \alpha), \alpha) \mid \alpha \in T^*M\} \subset TM \oplus T^*M.$$

3 (Véase [2013 – Bursztyn].) Sea  $M = \mathbb{R}^3$ ,

$$D = \text{span} \left\langle \left( \frac{\partial}{\partial y}, zdx \right), \left( \frac{\partial}{\partial x}, -zdy \right), (0, dz) \right\rangle.$$

Si  $z \neq 0$ ,  $D \cap TM = \{0\}$ , así que  $D = \text{graph}(\Lambda)$  con

$$\Lambda = \frac{1}{z} \frac{\partial}{\partial x} \wedge \frac{\partial}{\partial y}.$$

$D$  es estructura de Dirac (suave), mientras que  $\Lambda$  es singular.

## Sistemas de Dirac

Supongamos dada una variedad de Dirac  $(M, D)$ , y una *energía*  $E: M \rightarrow \mathbb{R}$ . Recordemos que  $D \subset TM \oplus T^*M$ .

**Definición:** *El sistema de Dirac  $(D, dE)$  es el siguiente sistema dinámico:*

$$\dot{\gamma}(t) \oplus dE(\gamma(t)) \in D_{\gamma(t)} \quad \text{para cada } t \in I,$$

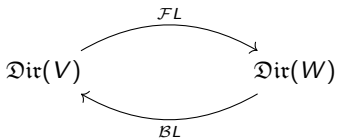
*para curvas  $\gamma: I \rightarrow M$ ,  $I \subset \mathbb{R}$ .*

Por ejemplo,  $(M, D_\Lambda)$ ,

$$\dot{\gamma} \oplus dE \in D_\Lambda$$

son las ecs. de Hamilton.

Denotemos mediante  $\mathfrak{Dir}(V)$  el conjunto de las estructuras de Dirac de  $V$ . Sean  $V, W$  espacios vectoriales y sea  $L: V \rightarrow W$  lineal.



**Proposición:** Los siguientes subespacios definen estructuras de Dirac:

$$\mathcal{F}L(D_V) := \{(Lv, w^*) \in W \oplus W^* \mid v \in V, w^* \in W^*, (v, L^*w^*) \in D_V\}.$$

$$\mathcal{B}L(D_W) := \{(v, L^*w^*) \in V \oplus V^* \mid v \in V, w^* \in W^*, (Lv, w^*) \in D_W\}.$$

$\mathcal{F}, \mathcal{B}$  se comportan functorialmente: es decir,

$$\mathcal{F}(L \circ K) = \mathcal{F}L \circ \mathcal{F}K, \quad \mathcal{B}(L \circ K) = \mathcal{B}K \circ \mathcal{B}L.$$

Se extiende a variedades.

Modelo básico ( $x = x^i$ ,  $i = 1, \dots, n$ ):

$$\begin{aligned}\dot{x} &= J(x) \frac{\partial E}{\partial x}(x) + g(x)f, \\ e &= g^T(x) \frac{\partial E}{\partial x}(x).\end{aligned}$$

- (vectores  $\mathbb{R}^n$ )  $f$ : flujo (inputs);  $e$ : esfuerzo (outputs).
- (matriz  $n \times n$  antisimétrica)  $J(x)$ : “network topology”.
- (matriz  $n \times n$ )  $g(x)$ : influencia de los flujos  $f$ .

$$\frac{d}{dt} E = \frac{\partial E}{\partial x} \dot{x} = \frac{\partial E}{\partial x} \left( J \frac{\partial E}{\partial x} + gf \right) = \frac{\partial E}{\partial x} gf = \langle e, f \rangle.$$

- **Sistema abierto:**  $\frac{d}{dt} E = \langle e, f \rangle$  (no hay ligaduras).
- **Sistema interconectado (o cerrado):**  $\frac{d}{dt} E = \langle e, f \rangle = 0$ .

# Sistemas “Input-Output” – Geometrización (I)

## Sistema abierto

$$\dot{x} = J(x) \frac{\partial E}{\partial x}(x) + g(x)f,$$

$$e = g^T(x) \frac{\partial E}{\partial x}(x),$$

y

$(f, e)$  “libre”.

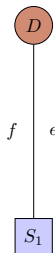
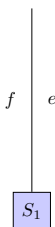
## Sistema interconectado (o cerrado)

$$\dot{x} = J(x) \frac{\partial E}{\partial x}(x) + g(x)f,$$

$$e = g^T(x) \frac{\partial E}{\partial x}(x),$$

y

$$\langle f, e \rangle = 0.$$



## Sistemas “Input-Output” – Geometrización (II)

Una **estructura forward** es una 5-upla

$$A = (\pi_{(U_1, M)}, \pi_{(U_2, M)}, D_{U_1}, D_{U_2}, g_{U_2 U_1})$$

- $\pi_{(U_1, M)}, \pi_{(U_2, M)}$ : fibrados vectoriales. **Típicamente  $U_1 = TM$ .**
- $D_{U_1} \subset U_1 \oplus U_1^*$ : estructura de Dirac. **Geometría del sistema.**
- $D_{U_2} \subset U_2 \oplus U_2^*$ : estructura de Dirac. **Geometría de la interconexión.**
- $g_{U_2 U_1}: U_2 \rightarrow U_1$ : morfismo de fibrados vectoriales. **Modela la interacción de los puertos con el sistema.**

Definamos el siguiente morfismo de fibrados vectoriales:

$$\begin{aligned}\Phi_A: U_1 \oplus U_2 &\rightarrow U_1, \\ (u_1 \oplus u_2) &\mapsto \Phi_A(u_1 \oplus u_2) = u_1 + g_{U_2 U_1}(u_2).\end{aligned}$$

El sistema viene dado mediante:

$$D_A = \mathcal{F}(\Phi_A)(D_{U_1} \oplus D_{U_2}).$$

## Sistemas “Input-Output” – Geometrización (III)

$$A = (\pi_{(U_1, M)}, \pi_{(U_2, M)}, D_{U_1}, D_{U_2}, g_{U_2 U_1}) \Rightarrow D_A = \mathcal{F}(\Phi_A)(D_{U_1} \oplus D_{U_2}).$$

$D_A$  es el conjunto de todos los  $(u_1, \alpha_1) \in U_1 \oplus U_1^*$  tales que existe  $(u_2, \alpha_2) \in U_2 \oplus U_2^*$  con

$$\left. \begin{array}{l} (u_1 - g_{U_2 U_1}(u_2), \alpha_1) \in D_{U_1}, \\ (u_2, \alpha_2) \in D_{U_2}, \\ g_{U_2 U_1}^* \alpha_1 = \alpha_2. \end{array} \right\}$$

**Ejemplo:** Dada una energía  $E : M \rightarrow \mathbb{R}$ ,  $U_1 = TM$ , el sistema de Dirac correspondiente a  $D_{U_2} = U_2 \oplus \{0\}$

$$(x, \dot{x}) \oplus dE(x) \in D_A,$$

es (en coordenadas):

$$\dot{x} = J(x) \frac{\partial E}{\partial x}(x) + g(x)f,$$

$$0 = g^T(x) \frac{\partial E}{\partial x}(x),$$

**Muchas gracias**